

PROSTAT İNCE İĞNE ASPIRASYON SİTOLOJİSİNDE AgNOR TEKNİĞİNİN DEĞERİ

Uz.Dr. Rengin AHISKALI (*), Dr. Ahmet ZORLU (*), Dr. Funda EREN (*),
Ecz. Gülsün EKİCİOĞLU (*), Prof. Dr. Sevgi KÜLLÜ (*)

ÖZET: Otuz nodüler hiperplazi ve 30 prostat karsinomu olgusunun ince iğne aspirasyon sitolojisi ve tru-cut iğne biyopsisi preparatları soldurularak AgNOR teknigi uygulanmıştır. Benign ve malign örneklerin AgNOR sayılarında tüm gözlemler için anlamlı farklılık saptanmıştır. Sayımların AgNOR şekil ve boyutları ile birlikte değerlendirilmesi ile AgNOR teknığının sitolojide ayırcı tanı için değerli bir yol gösterici yöntem olarak kullanılabilcecen düşünmektedir.

ANAHTAR KELİMELER: İnce iğne aspirasyonu, prostat, karsinom, AgNOR

SUMMARY: AgNOR technique was applied to destained tru cut biopsy and fine needle aspiration cytology specimens of 30 cases of nodular hyperplasia and 30 cases of prostatic carcinoma. AgNOR counts of benign and malignant samples were significantly different for all observers. Evaluating AgNOR size and shape together with counts can establish AgNOR technique as a valuable guide in cytologic diagnosis.

KEY WORDS: fine needle aspiration, prostate, carcinoma, AgNOR

GİRİŞ

Prostat karsinomu saptanmasında ince iğne aspirasyon sitolojisi (İIAS) kullanımının yaygınlaşması ile sitolojik preparatlarda ayırcı tanı için yardımcı tekniklere gereksinim duyulmaktadır (1). Gümüş boyanan "Nucleolar Organizer Region" asosiyen proteinlerin (AgNOR) sayı ve dağılımlarının prostat dokusunda benign / malign ayırmada kullanılabileceği bildirilmiştir (2-5). Çalışmamız AgNOR teknığının prostat İIAS'de ayırcıtanı değerini saptamak amacıyla yapılmıştır.

GEREÇ VE YÖNTEM

Hem yayma hem dokuda aynı tanıyi almış prostat İIAS ve tru-cut biyopsisi olan 30 prostat karsinomu ve 30 nodüler hiperplaziden oluşan toplam 60 olgu çalışma kapsamına alınmıştır. Karsinom olgularında total Gleason skorları şöyledir: 2 olgu 3, 6 olgu 5, 3 olgu 6, 4 olgu 7, 6 olgu 8, 7 olgu 9, 2 olgu 10.

Yaymalar ve doku kesitleri ksilen içinde lamelleri ayrıldıktan sonra alkollerden geçirilmiş, 3:1 etanolasetik asit solusyonunda 30 dakika soldurma ve postfiksasyon uygulandıktan sonra %1'lük formik asit 2g/dl jelatin çözeltisinden 2 damla, gümüş nitratın 50 g/dl solusyonundan dört damla damlatılarak lamel kapatılmış, yaymalar 10-15 dak, doku kesitleri 30-45 dakika, karanlıkta boyanmıştır (6).

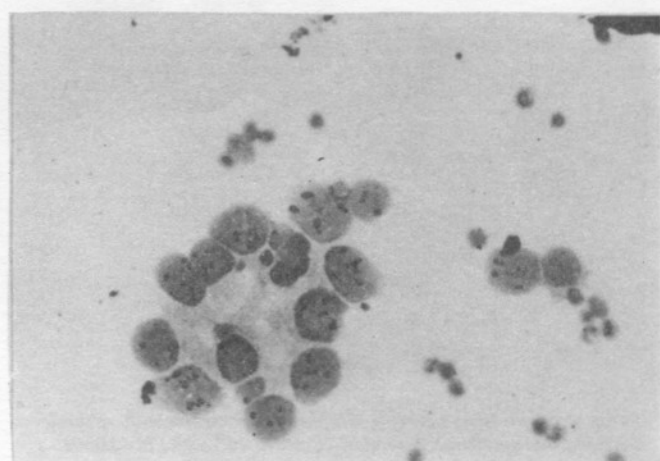
Yayma ve dokular kodlanmış ve sayımlar tanıdan habersiz uygulanmıştır. Yaymalarda 1. (FE) ve 2. (AZ) gözlemci, doku kesitlerinde 3. (RA) gözlemci tarafından Howat ve ark. önerdiği yöntemle sayımlar yapılmıştır (7). Yaymalarda en yüksek sayıda AgNOR değeri veren alanlar işaretlenmiş, her iki gözlemci aynı alanlarda 60 hücrede sayılmışlardır. yaymalar yeniden kodlanmış, her üç gözlemci yalnızca AgNOR şekil ve dağılımına bakarak malignite ayırmını değerlendirmiştir.

Morfolojik kriter olarak AgNOR kümelerinin boyutlarının büyütülüğü, şekil düzensizliği, AgNOR'ların dispersiyonu kullanılmıştır. (Resim 1). Benign-malign olguların AgNOR sayımlarının karşılaştırılmasında Student's t testi, iki gözlemcinin sayımlarının karşılaştırılmasında iki eş arasındaki farklılık önemlilik testi, doku yayma sonuçlarının karşılaştırılma-

sında korrelasyon matriksi kullanılmıştır. Duyarlık ve özgürlük hesaplanmasında her gözlemci için değişen medyan değerler sınır olarak alınmıştır.

SONUÇLAR

Yaymalarda iki gözlemcinin sayımları arasında anlamlı fark izlenmiştir ($p<0.000001$) (tablo 1). Yaymalarda ve dokuda AgNOR sayımları arasında orta kuvvette korrelasyon bulunmuştur: 1. gözlemci-2. gözlemci (yayma/yayma) $r=0.67$, 1. gözlemci-3. gözlemci (yayma/doku) $r=0.67$, 2. gözlemci-3. gözlemci (yayma/doku) $r=0.51$. Tüm gözlemciler için benign-malign grupların AgNOR sayımlarında anlamlı farklılık izlenmiştir (Tablo 1). Ancak tüm sayımlarda benign-malign grupların AgNOR sayı dağılımları çakışmaktadır. AgNOR sayımları, gözlemlerin medyan değerlerine göre bölündüğünde malignite tanısında tüm sayımların duyarlık ve özgürlüğünün düşük olduğu görülmüştür (Tablo 2). Morfolojik değerlendirmede ise gözlemler arasında belirgin farklılık izlenmiştir. Morfolojik ayırmının duyarlığı ve özgürlüğü, mikroskopide deneyimli olan 3. gözlemci azalmaktadır.



Resim 1: Yüksek grade'li prostat karsinomu olgusuna ait İIAS. Çok sayıda düzensiz AgNOR kümeleri ve dağınık AgNOR'lar (AgNOR teknigi x800)

TABLO 1: NODÜLER HİPERPLAZİ VE KARSİNOM OLGULARINDA ÜÇ GÖZLEMCİNİN AgNOR SAYIM ORTALAMALARI (ARİTMETİK ORTALAMA ± STANDART DEVIASYON)

Nodüler Hiperplazi	Prostat Karsinomu	p (Student's t test)
1. gözlemci	1.73 ± 0.24	2.26 ± 0.57
2. gözlemci	2.20 ± 0.23	2.75 ± 0.9
3. gözlemci	1.80 ± 0.28	2.66 ± 0.79

yısal değerlendirmeye üstün olduğunu düşündürmektedir. Bu değerlendirme sayına göre çok daha az yorucu ve az zaman alıcıdır. Yagma preparatlarda intranükleer tüm AgNOR'ların görülebilmesi de bu değerlendirmenin güvenilirliğinden rol oynayabilir. Uygulama kolaylığını, özellikle şekil ve boyutların sayımlarla birlikte değerlendirilmesi ile artan güvenilirliğini gözönüne

TABLO 2: ÜÇ GÖZLEMCİNİN AgNOR SAYISAL VE MORFOLOJİK DEĞERLENDİRME SONUÇLARI

	medyan	SAYISAL	DEĞERLENDİRME	MORFOLOJİK		DEĞERLENDİRME			
		duyarlılık	özgüllük	(+) kestirim değeri	(-) kestirim değeri	duyarlılık	özgüllük	(+) kestirim değeri	(-) kestirim değeri
1. gözlemci (yagma/yagma)	1.9	% 83	% 73	% 76	% 81	% 53	% 83	% 76	% 64
2. gözlemci (yagma/yagma)	2.35	% 73	% 73	% 73	% 73	% 30	% 77	% 63	% 56
3. gözlemci (doku/yagma)	1.97	% 77	% 77	% 77	% 77	% 96	% 80	% 83	% 96

TARTIŞMA

Çeşitli yayınlarda AgNOR tekniği prostatın benign-premalign-malign lezyonlarının ayrimında kullanılmıştır (2-5,8). Sayımlardaki anlamlı farklılığa rağmen gruplar arasındaki dağılımların çıkışmasının AgNOR tekniğinin kullanılabilirliğini kısıtladığı bildirilmiştir (2-5). Çalışmamızda doku ve yaymalarla AgNOR sayımları ile benzer sonuçlar alınmıştır. Gerçek AgNOR sayısının belirlenebilmesi açısından doku kesitlerine oranla yasmaların daha uygun olduğu bilinmektedir (9). Lundgren prostat hücre süspansiyonlarında benign-malign ayrimında AgNOR sayı ve dağılıminin değerini vurgulamıştır (4,5). AgNOR tekniğinin İIAS'de kullanımı konusunda denemeler sınırlıdır. Ancak ayırıcı tanıda başarılı sonuçlar alınmıştır (10,11).

Hansen prostat dokusunda AgNOR'ların morfolojik tiplemesinin benign-malign ayrimında yararlı olduğunu belirtmiştir (2). Ancak gümüş boyalı taneciklerin optik rezolüsyon sınırsında olması bu tiplemeyi güçlitmektedir (3). Görüntü analiz sistemleri ile uygulanan AgNOR alan hesaplamaları benign-malign ayrimında sayısal değerlendirme oranla daha güvenilir sonuçlar vermiştir (8).

Ancak bu sistemler pahalıdır ve rutinde kullanılmaları güçtür. Çalışmamızda malign hücrelerde AgNOR kümelerinin boyut ve şekillerine, ve AgNOR'ların dispersiyonuna dayanarak yapılan morfolojik değerlendirme gözlemciler arasında büyük farklılık göstermiştir.

İki gözlemcinin aynı alanlarda yaptığı sayımlarda da ileri derecede anlamlı farklılık vardır. Lloyd ve ark. da özellikle çok sayıda AgNOR içeren kesitlerde, gözlemciler arası anlamlı farklılık bildirmiştir (12). Sonuçlarımız, patoloğun deneyiminin arttığı oranda, morfolojik değerlendirme sa-

alarak, AgNOR tekniğini prostat İIAS'de ayırıcı tanı için yardımcı bir yöntem olarak öneriyoruz.

KAYNAKLAR

1. Koss LG, Woyke S, Schreiber K, Kohlberg W, Freed SZ: Thin-needle aspiration biopsy of the prostate. *Urol. Clin. of North Am.* 1984; 11:237-251.
2. Hansen AB, Ostergard B: Nucleolar organizer regions in hyperplastic and neoplastic prostatic tissue. *Virschows Archiv A Pathol Anat* 1990;417: 9-13.
3. Masai M, Abe K, Akimoto S, Yatani R, Shimazaki J: Argyrophilic nucleolar organizer regions in benign hyperplastic and cancerous human prostates. *Prostate* 1992; 20:1-13.
4. Lundgren R: Cytogenetic studies of prostatic cancer. *Scand J Urol Nephrol Supl* 1991; 136p: 1-35
5. Mamaeva S, Lundgren R, Elfving P, Limon J, Mandhal N, Mamaev N, Henrikson H, Sverre H, Mitelman F: AgNOR staining in benign hyperplasia and carcinoma of the prostate. *Prostate* 1992; 18: 155-162.
6. Ploton D, Menager M, Jeanneson P, Himber G, Pigeon F, Adnett JJ: Improvement in the staining and visualization of the argyrophilic proteins of the nucleolar organizer regions at the optical level. *Histochem J*. 1986; 18:5-14.
7. Howat AJ, Giri DD, Coton DWK, Slater DN: Nucleolar organizer regions in Spitz nevi and malignant melanomas. *Cancer* 1989;63: 474-478.
8. Sesterhenn IA, Becker RL, Avallone FA, Mostofi FK, Lin TH, Davis, Jr CJ: Image analysis of nucleoli and nucleolar organizer regions in prostatic hyperplasia, intraepithelial neoplasia, and prostatic carcinoma 1991; *J Urogen. Pathol.* 1: 61-74.
9. Boldy DAR, Crocker J, Ayres JG: Application of the AgNOR method to cell imprints of lymphoid tissue. *J. Pathol.* 1980; 157: 75-79.
10. Cardillo MR: AgNOR technique in fine-needle aspiration cytology of salivary gland masses. *Acta Cytol.* 1992; 36: 147-151.
11. Mourad WA, Katz RL, Semenza D, Atkinson EN, El-Naggar AK: Two AgNOR counts in fine-needle aspirates of lymphoproliferative disorders compared with acridine orange flow cytometry. *Diagn. Cytopathol.* 1991; 8: 128-134.
12. Lloyd SN, Johns CP, Brown IL, Kirk D: Nucleolar organizer regions in benign and malignant prostatic disease. *Histopathology* 1992; 18: 449-451.